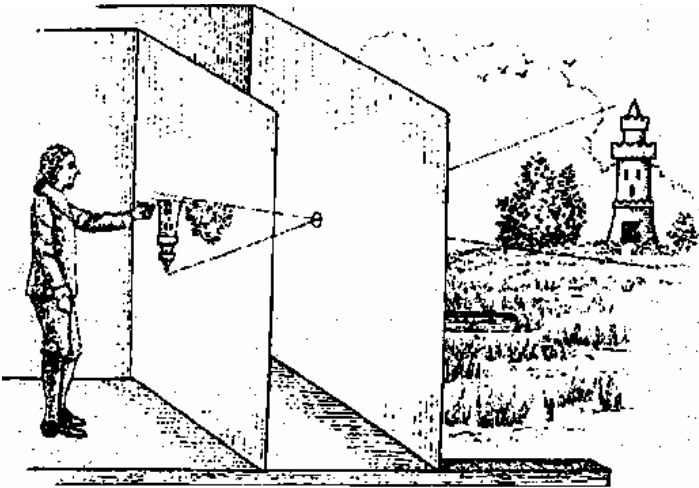


# Kapitel 9: Geometrische Optik

# Camera obscura

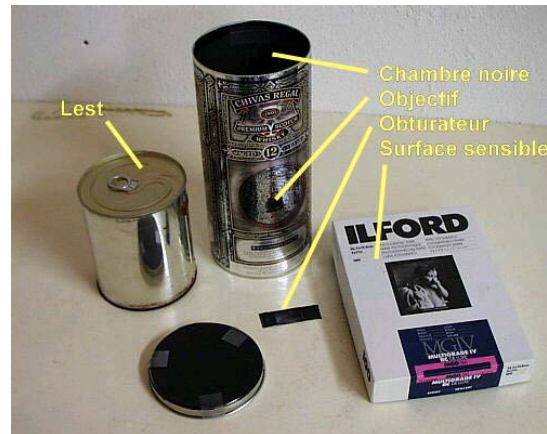
- principle known already by Aristotle (c. 300 BC)
- 1st records of use: Leonardo da Vinci (1452-1519)



University of Pretoria's Camera Obscura



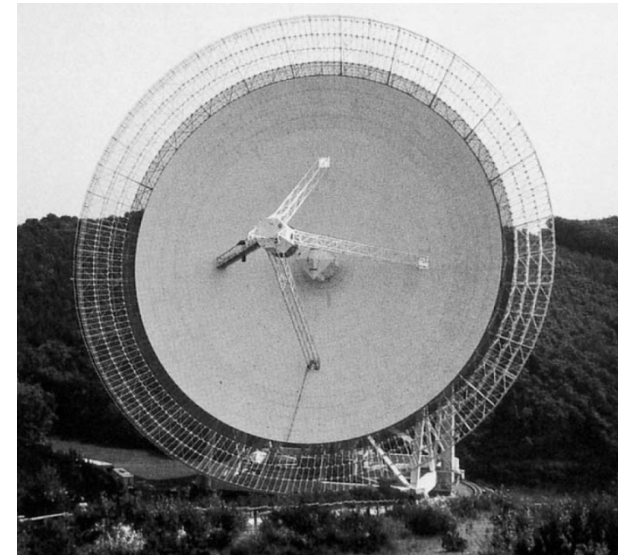
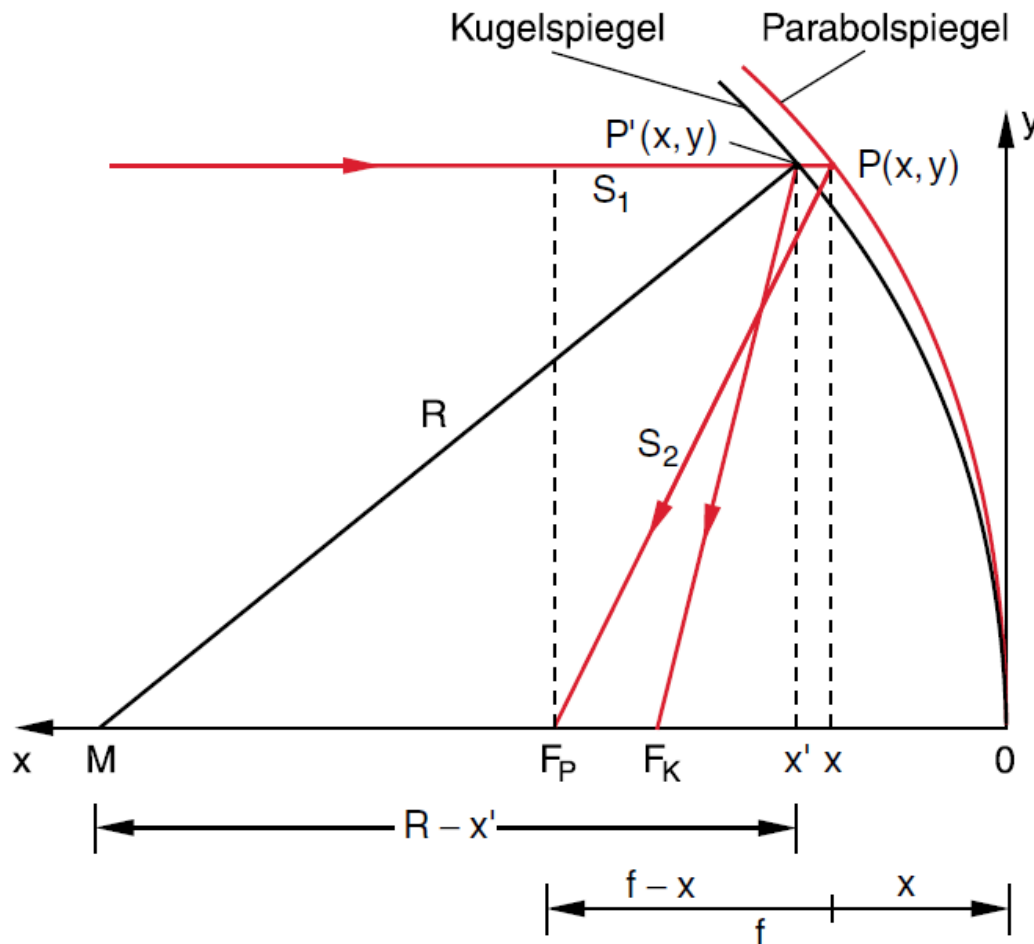
## Sténopé



1-2min



# Vergleich Sphärischer- und Parabolspiegel



Radioteleskop des Max-Planck-Instituts für Radioastronomie in Effelsberg, DE

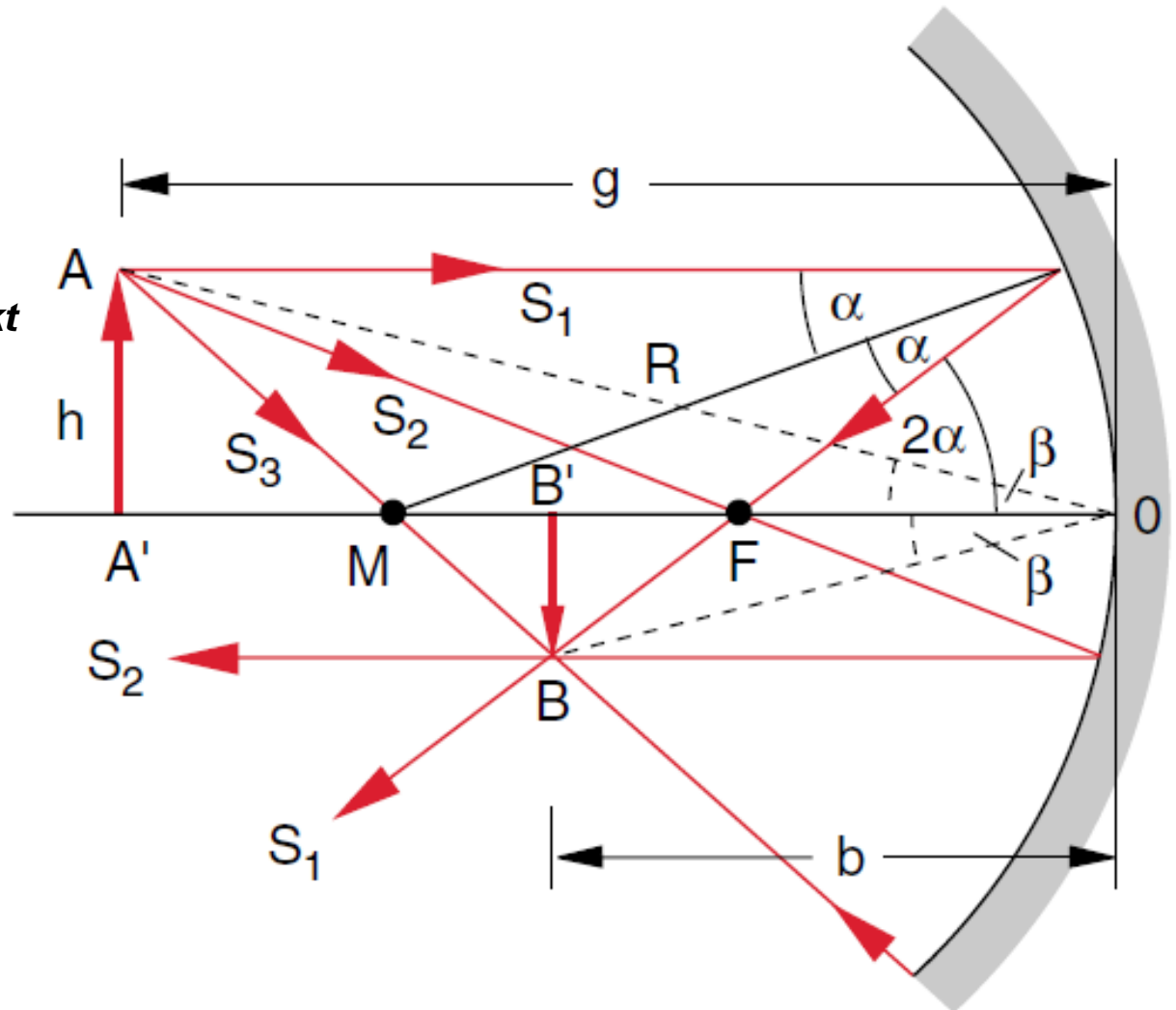
**Abb. 9.17.** Vergleich des Strahlenganges bei sphärischem Spiegel und Parabolspiegel mit Brennweite  $f = R/2$ . Für  $y \ll R$  wandert  $F_K$  gegen  $F_P$  nach  $x = R/2$

# Geometrische Konstruktion des Bildes eines achsennahen Punktes

3 Strahlen zeichnen  
*S1: parallel zur Achse*  
*S2: durch Brennpunkt*  
*S3: durch Kugelmittelpunkt*

Abbildung Massstab

$$\frac{\overline{BB'}}{\overline{AA'}} = \frac{b}{g}$$



# Entstehung eines virtuellen Bildes

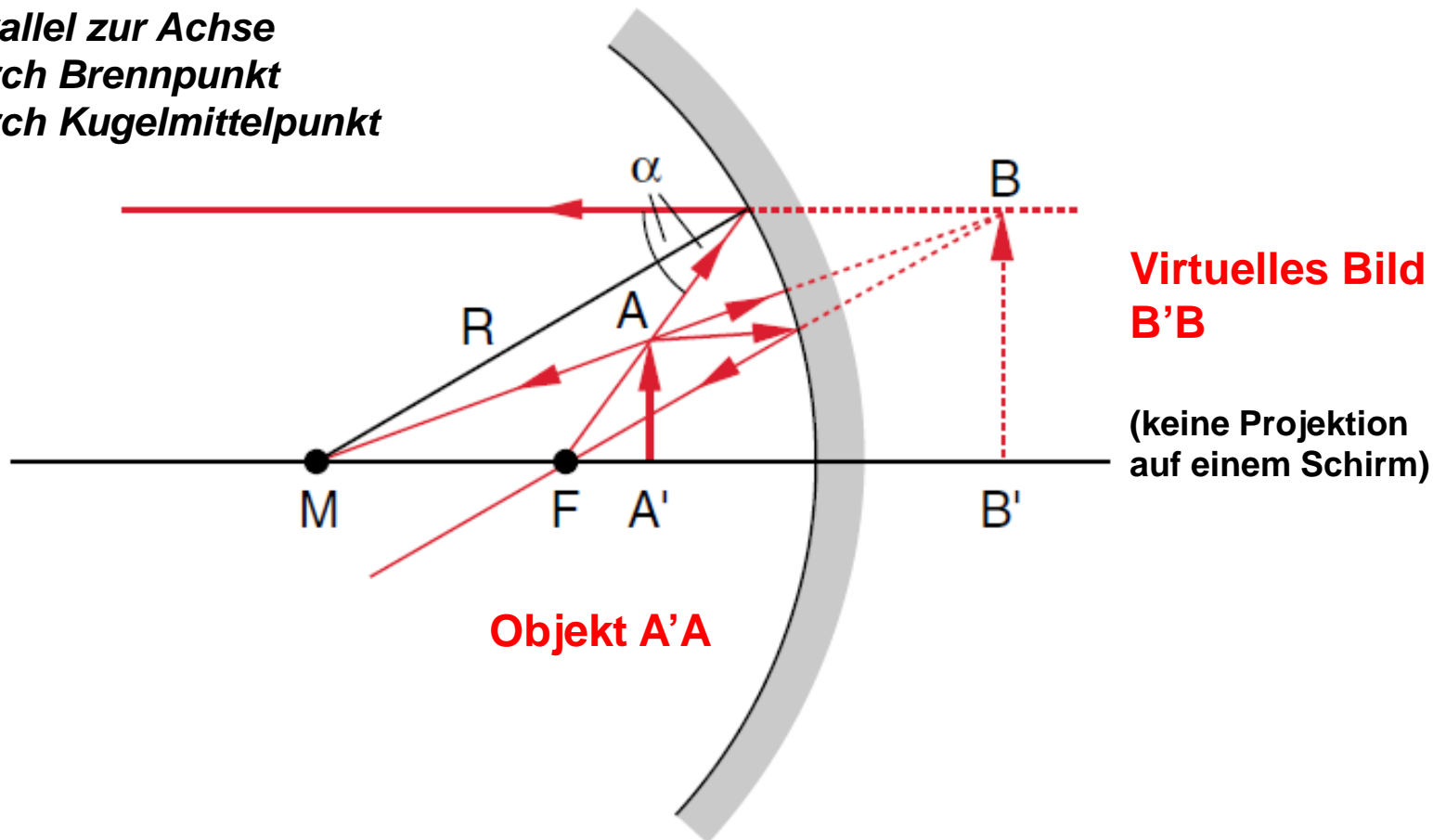
Objekt (Schweinchen) zwischen Spiegel und Brennpunkt

3 Strahlen zeichnen

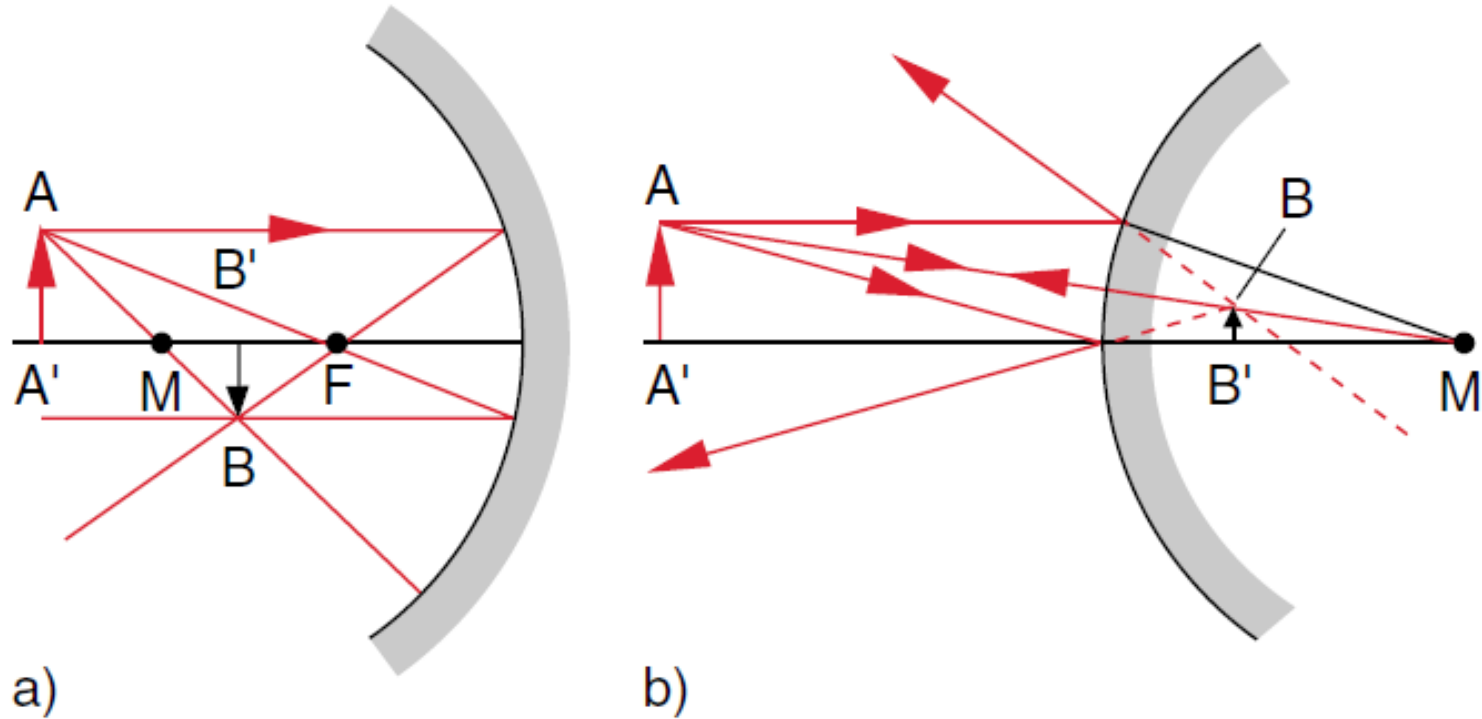
*S1: parallel zur Achse*

*S2: durch Brennpunkt*

*S3: durch Kugelmittelpunkt*

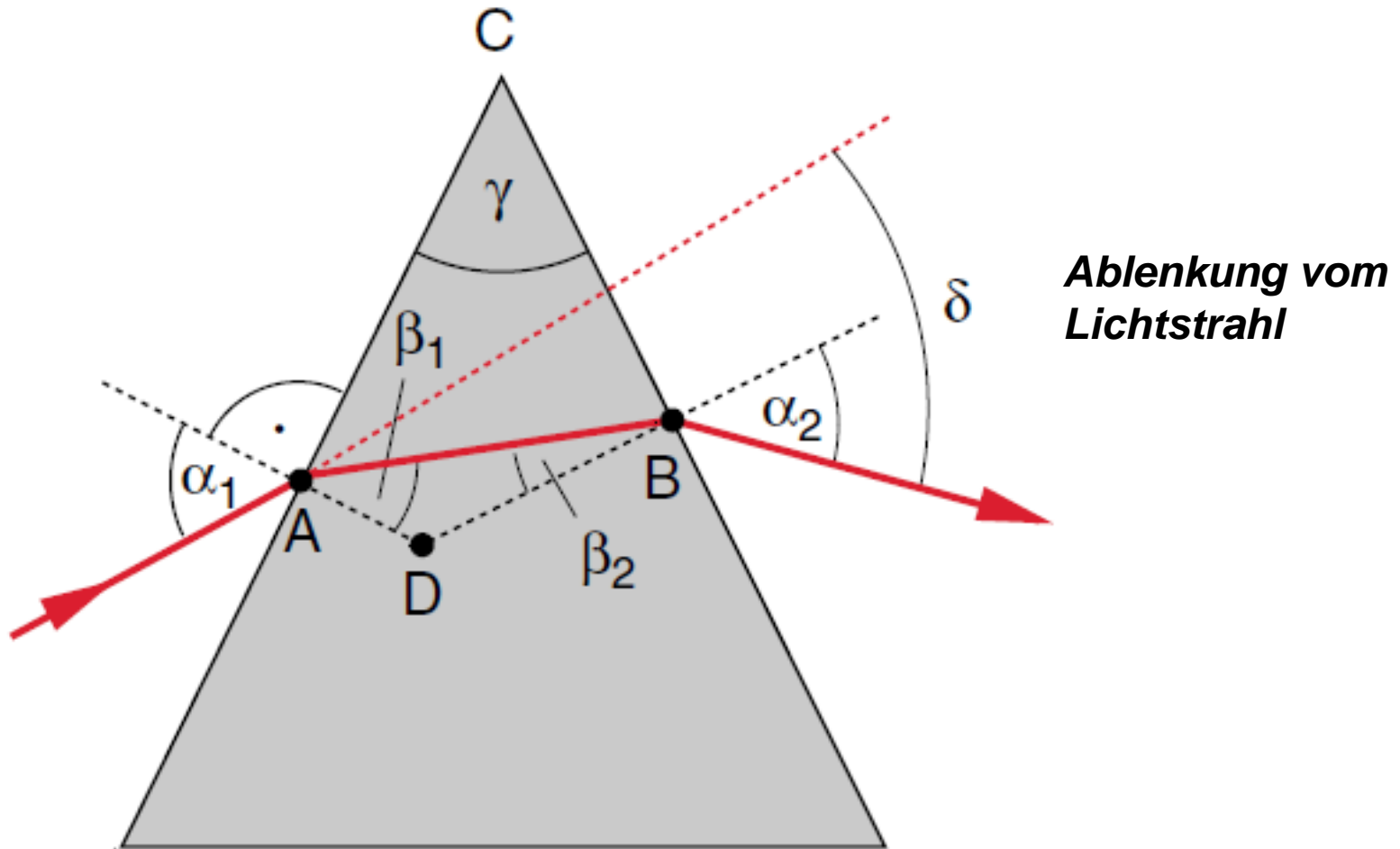


# Konkaver und konvexer Spiegel



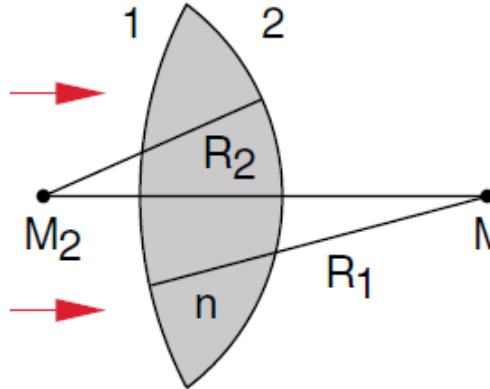
**Abb. 9.14.** (a) Konkaver und (b) konvexer Hohlspiegel

# Prisma

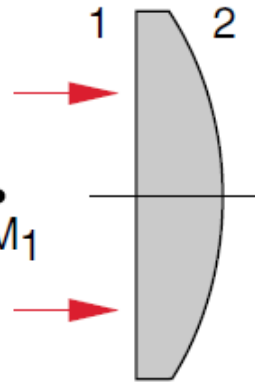


# Linsen

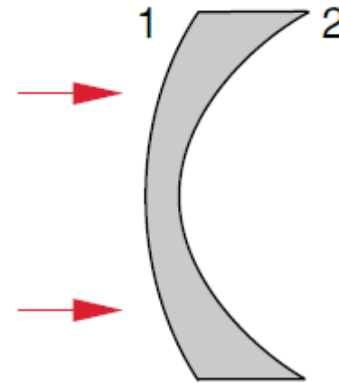
**bikonvex**



**plan-konvex**



**konvex-konkav**



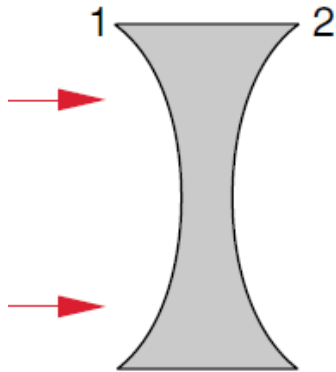
**Zeichen  
Konvention**

a)  $R_1 > 0$   
 $R_2 < 0$

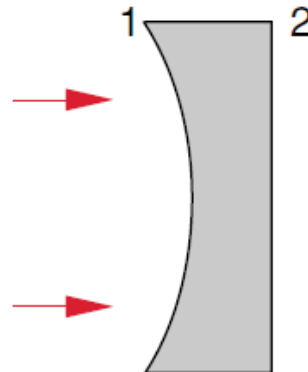
b)  $R_1 = \infty$   
 $R_2 < 0$

c)  $R_1 > 0$   
 $R_1 \neq R_2 > 0$

**bikonkav**



**plan-konkav**



Kugel-  
fläche **asphärisch**



d)  $R_1 < 0$   
 $R_2 > 0$

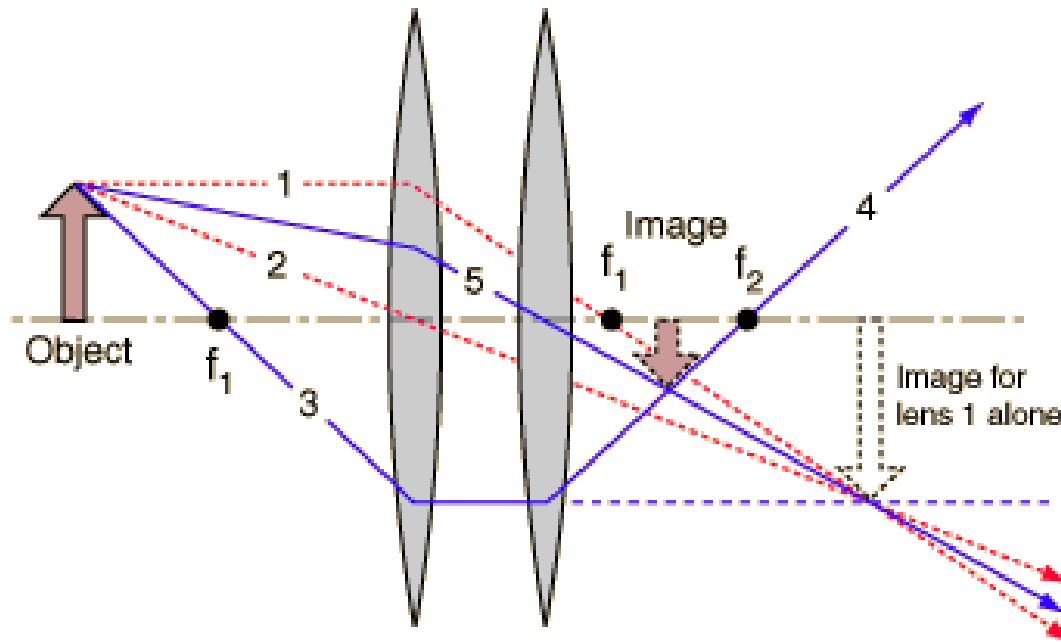
e)  $R_1 < 0$   
 $R_2 = \infty$

f) nicht-  
sphärisch



# image formation: 2 lenses

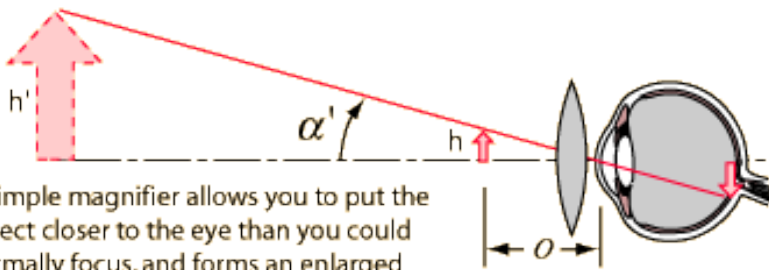
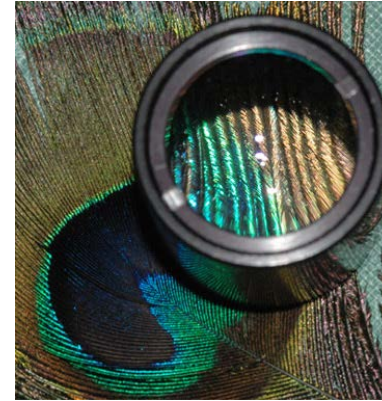
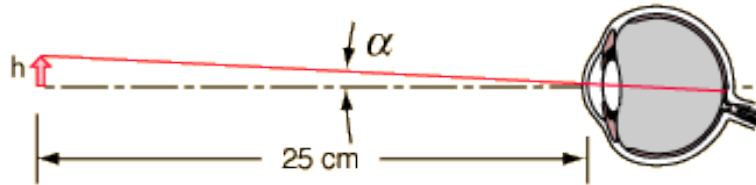
1. The principal rays **1** and **2** are used to determine the location of the image for lens 1 alone.



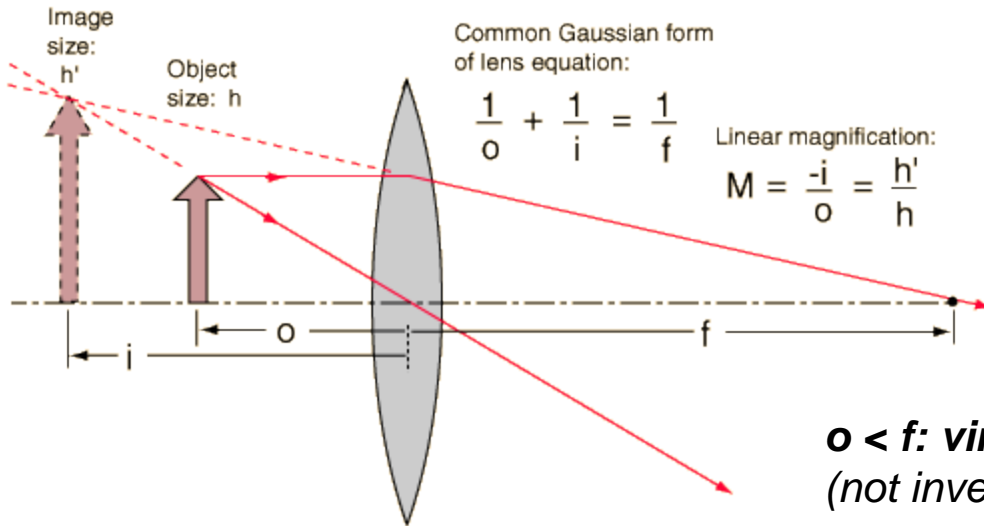
2. Ray **3** through  $f_1$  will approach lens 2 parallel to the axis and will project through focal point  $f_2$ , forming one principal ray (**4**) for the final image.

3. Back projecting from the single lens image through the center of lens 2 will define the second needed ray (**5**) since that ray will be undeflected.

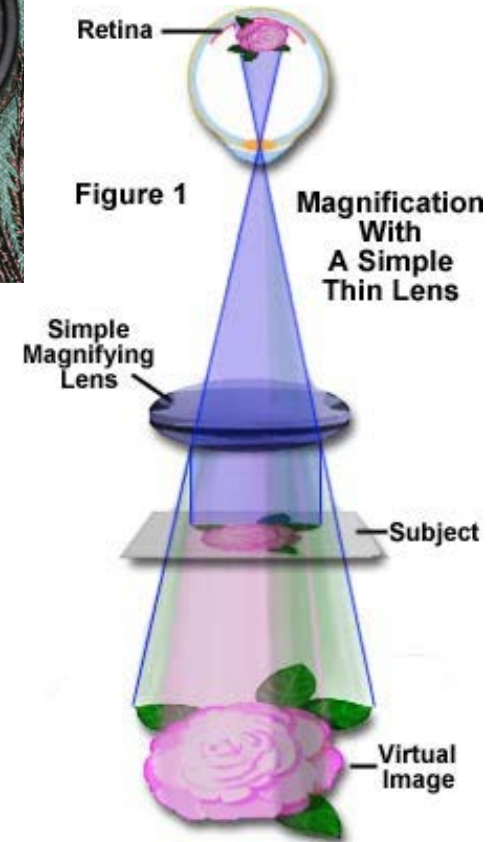
# Lupe



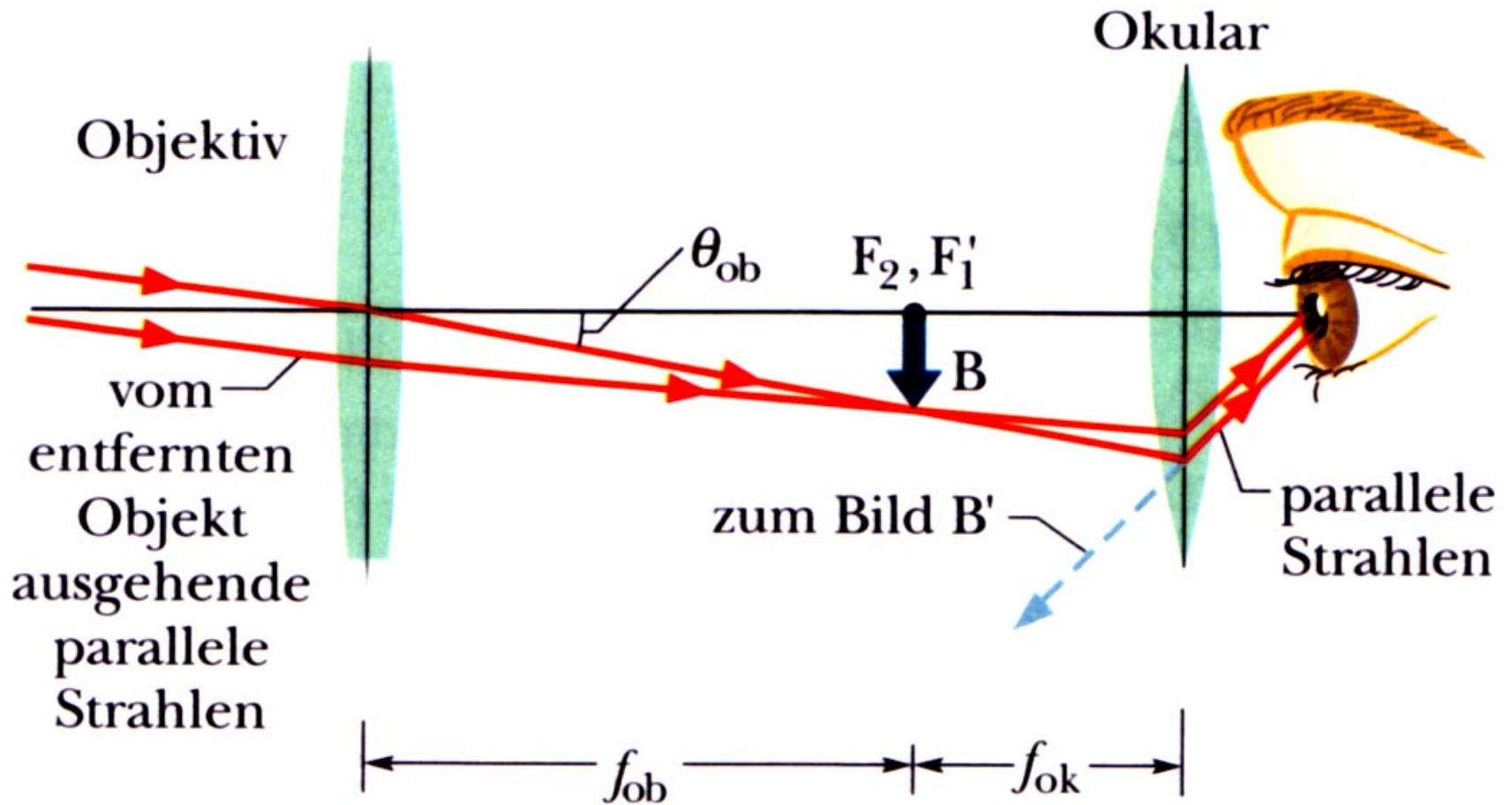
A simple magnifier allows you to put the object closer to the eye than you could normally focus, and forms an enlarged virtual image.



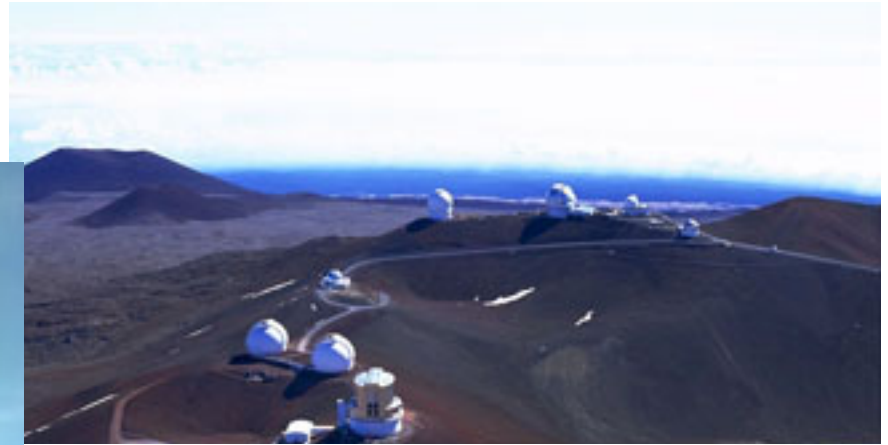
$o < f$ : virtual image (not inverted)



# Fernrohr / Teleskop



# Kek Teleskope (10 Meter)





# ESO La Silla (NTT)



3.58m Durchmesser (1989)

"flexibel" Spiegel: 78 Kontrol  
Aktuatoren (*active optics*)

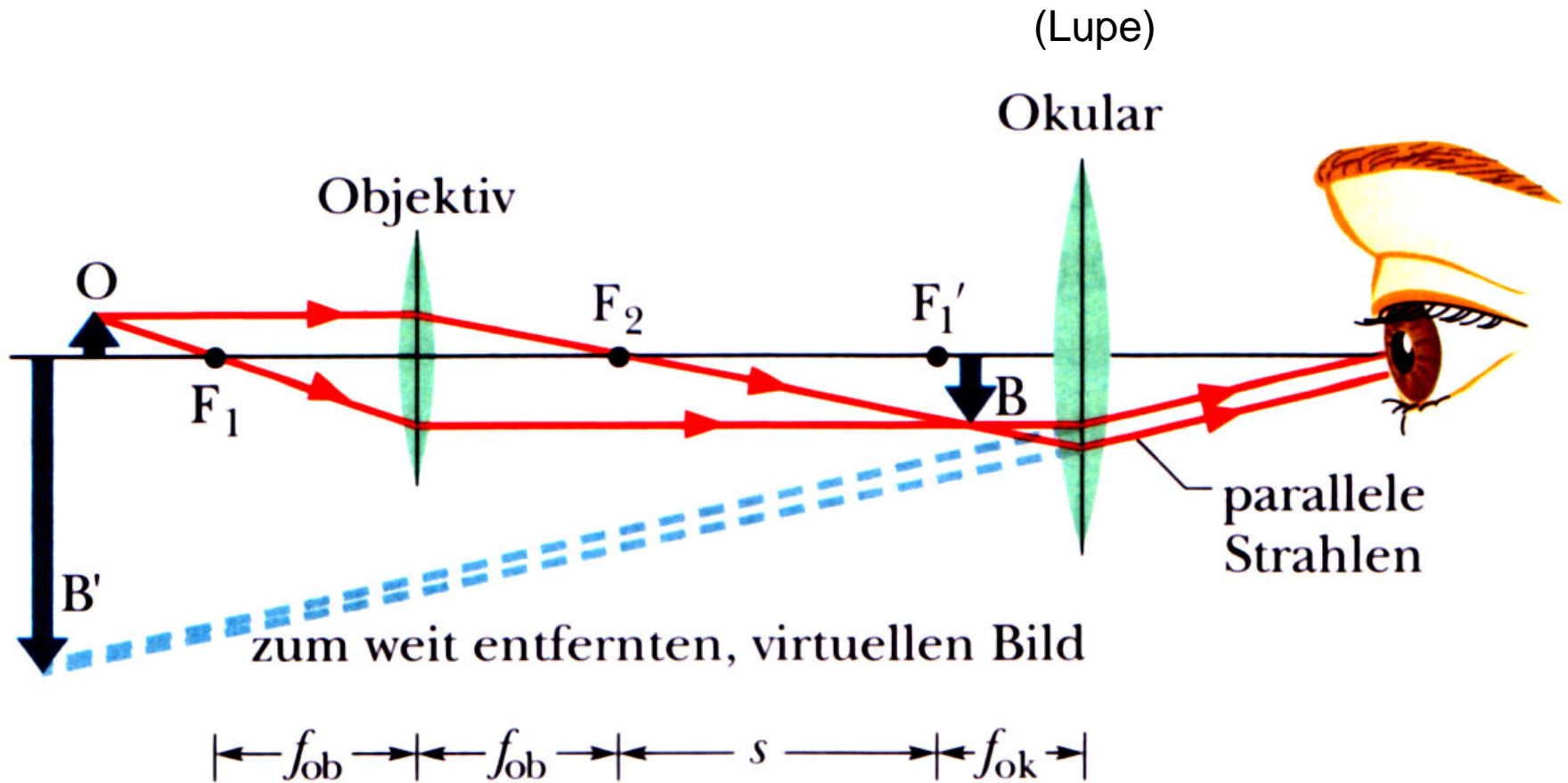
# ESO Paranal (VLT)



4 x 8.2m (17.5cm thick!), adaptative optics (laser star calibration) + auxiliary telescopes, interferometric operation



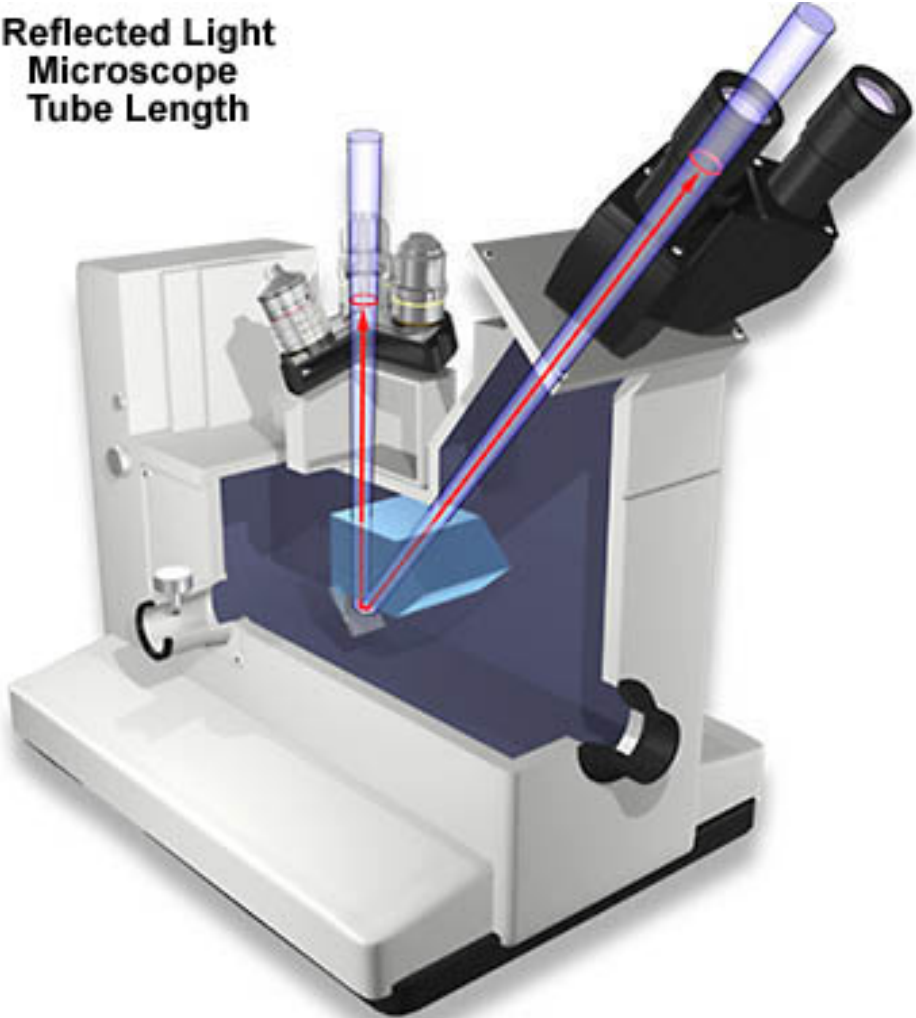
# Mikroskop



# Mikroskoptypen



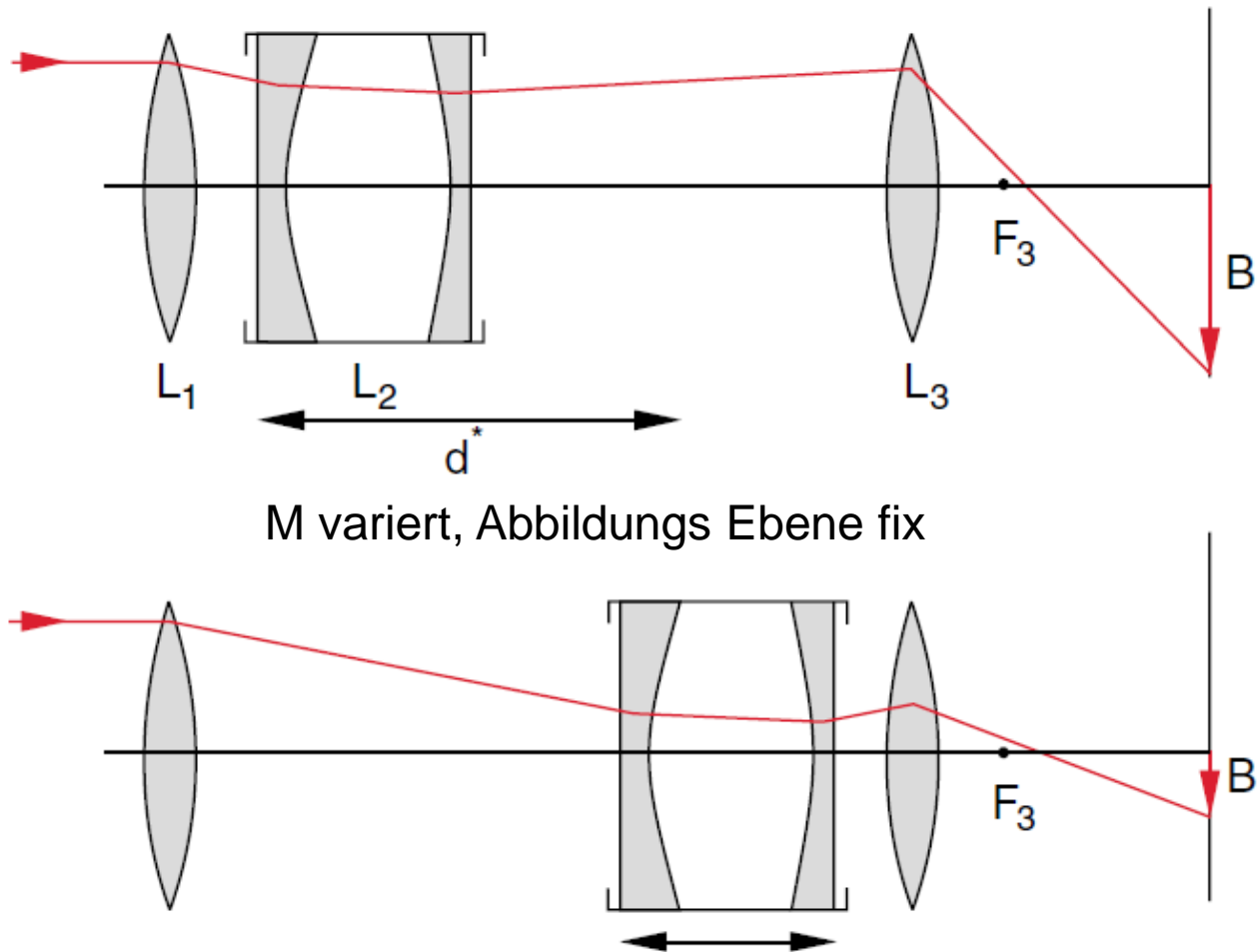
**Reflected Light  
Microscope  
Tube Length**



**Figure 2**



# Zoom Linsensystem (Variabel Vergrößerung $M$ )



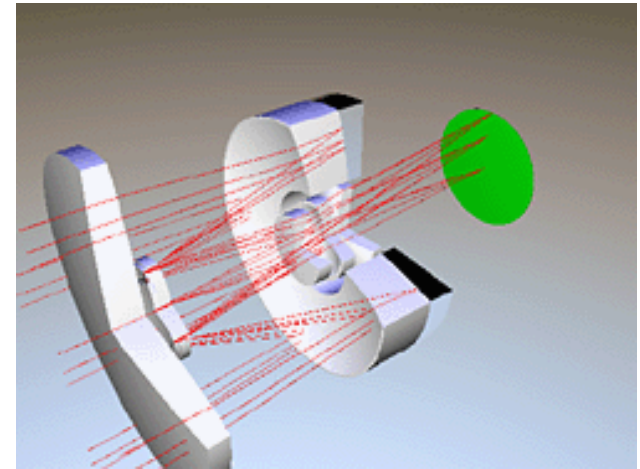
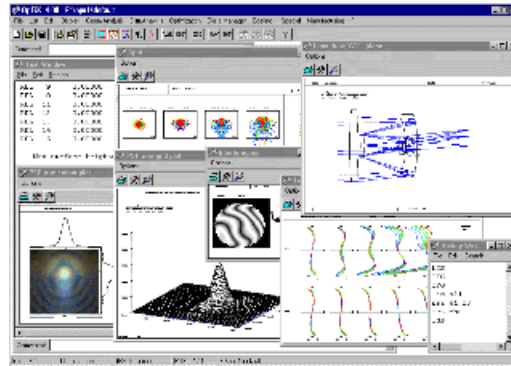
**Abb. 9.35.** Veränderung der Vergrößerung  $M$  eines Zoom-Linsensystems durch Verschieben des Linsenpaares  $L_2$  innerhalb der Strecke  $d^*$

# ray tracing

## computer ray tracing

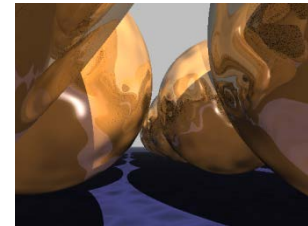
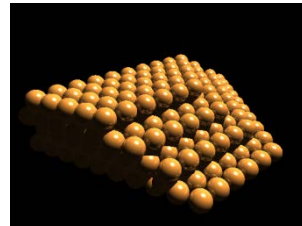
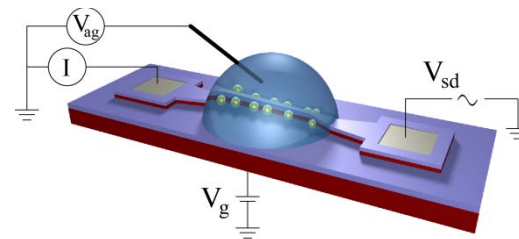
- **lens design and optimization**

e.g.: OpTaliX



- **image rendering**

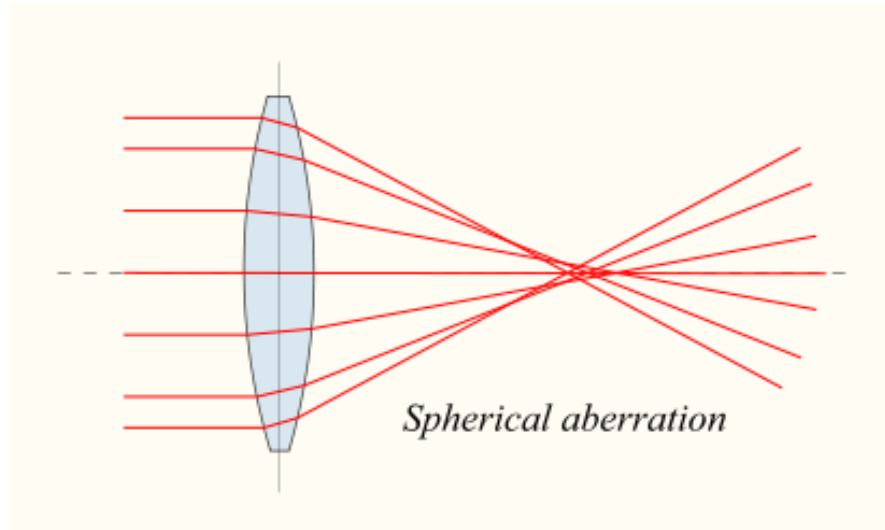
e.g.: pov ray



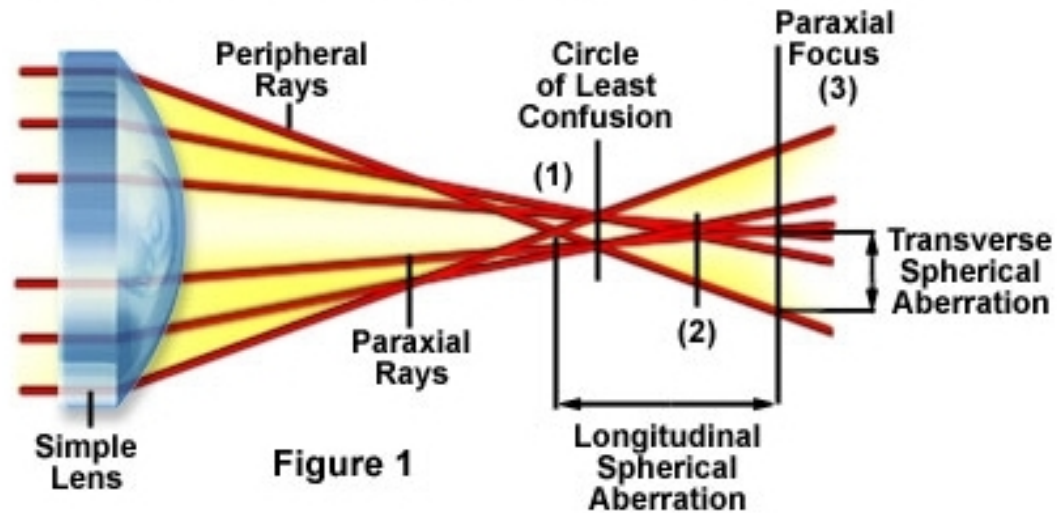
# ray tracing



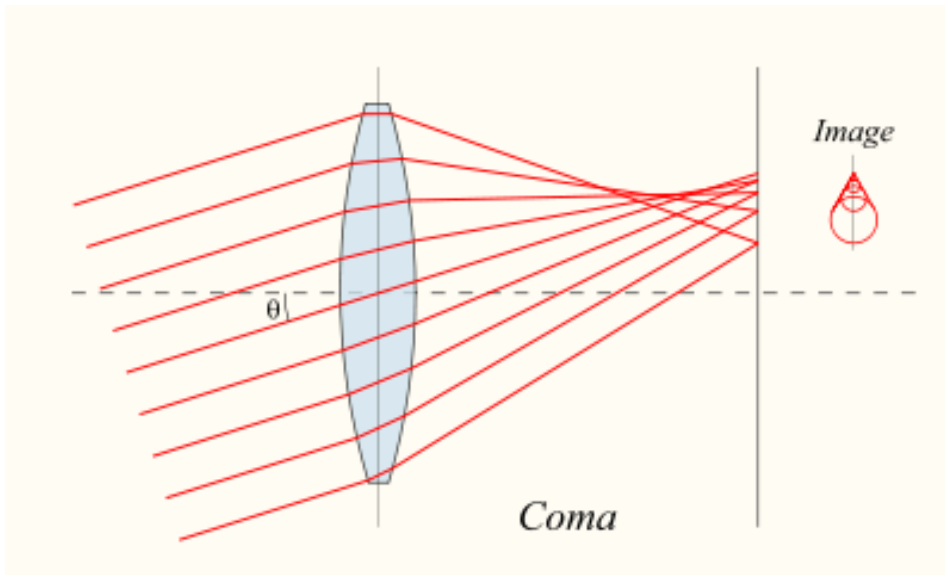
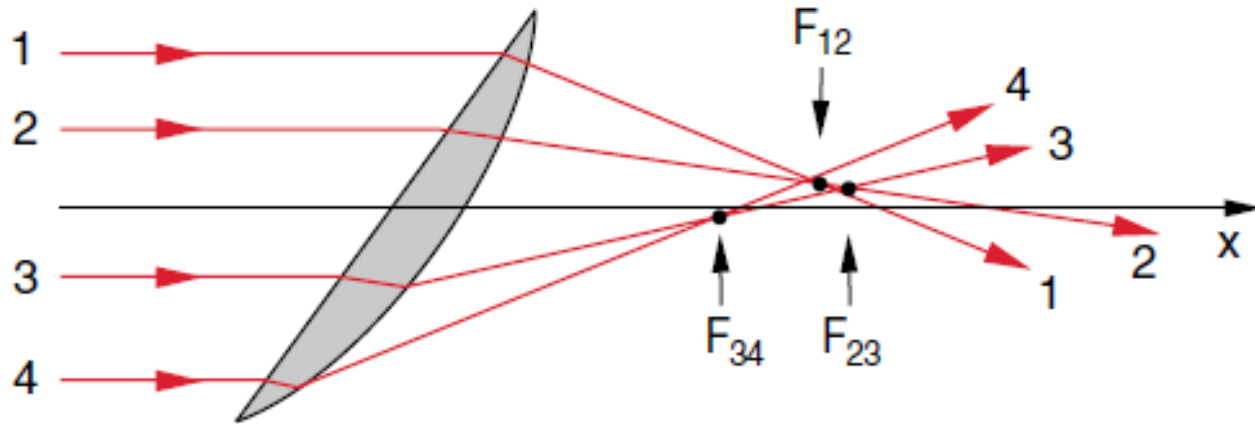
# sphärische Aberration



## Longitudinal and Transverse Spherical Aberration



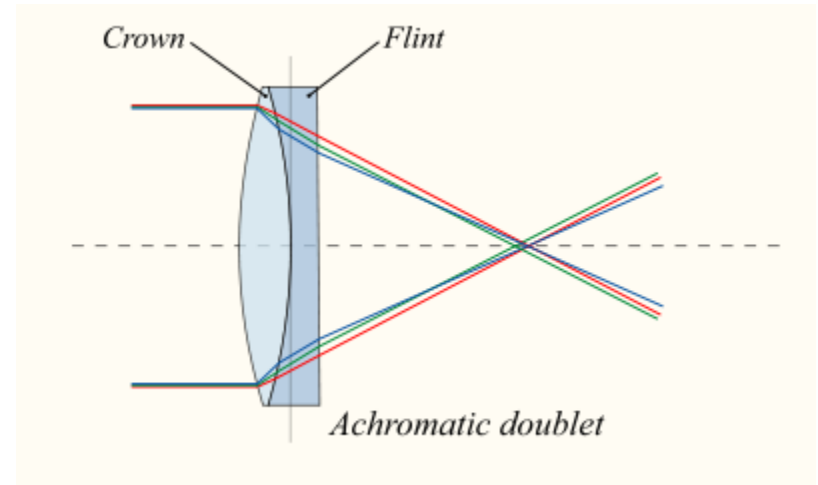
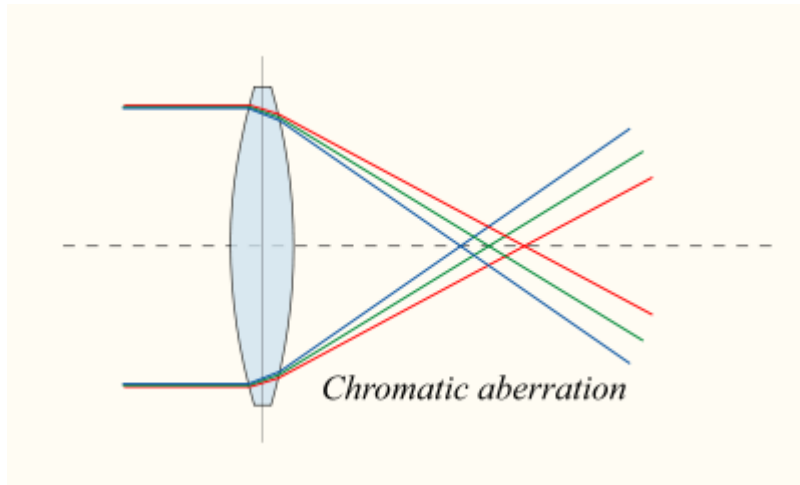
# Koma



***principal plane  $\neq$  plane***

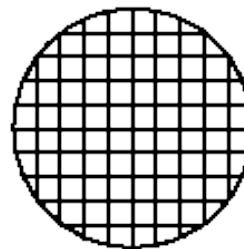
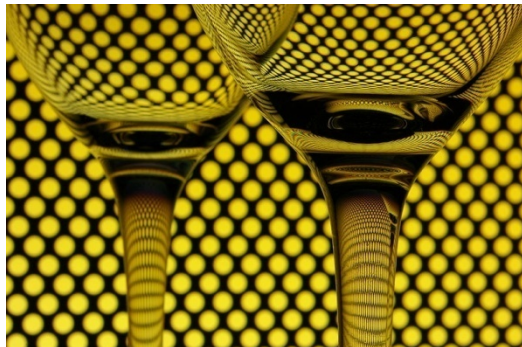


# chromatische Aberration

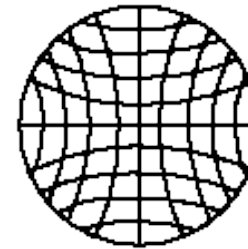


## **distortions**

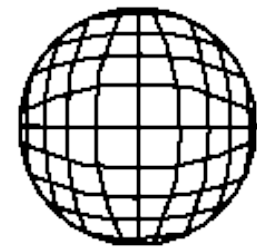
*(geometry of lens; lens imperfections)*



Undistorted  
Image

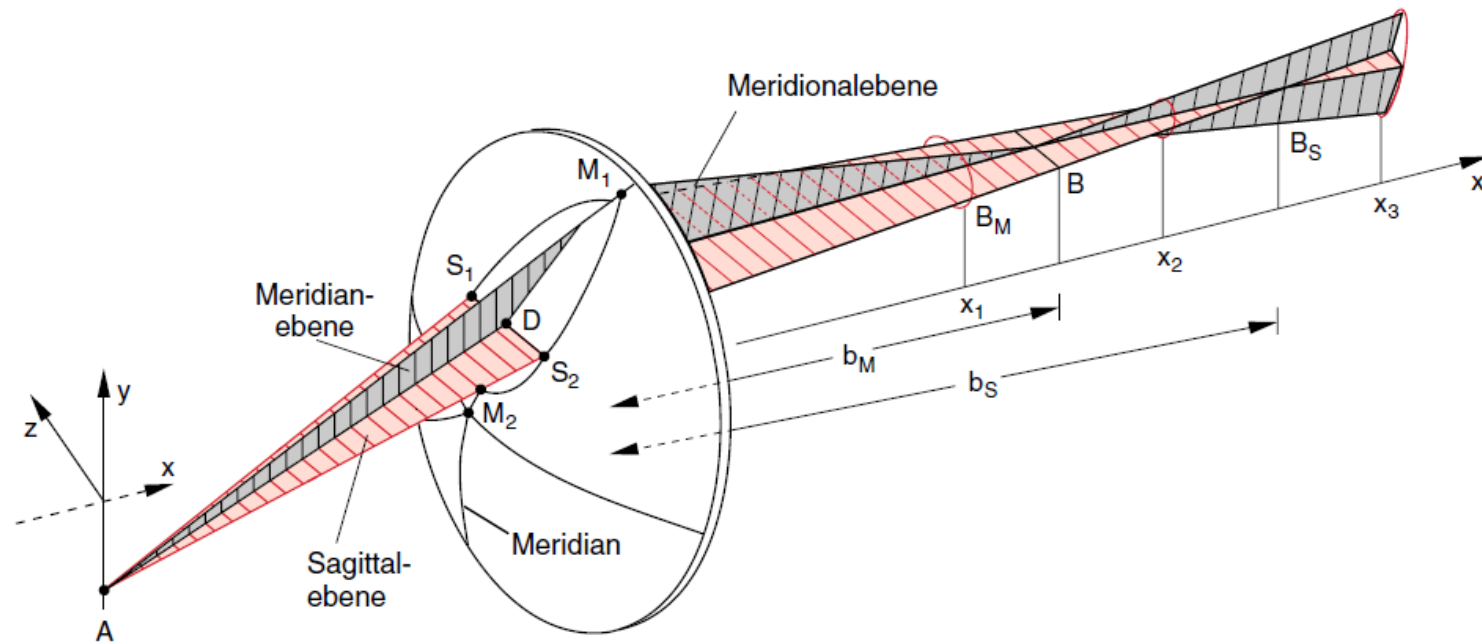


Pincushion  
Distortion

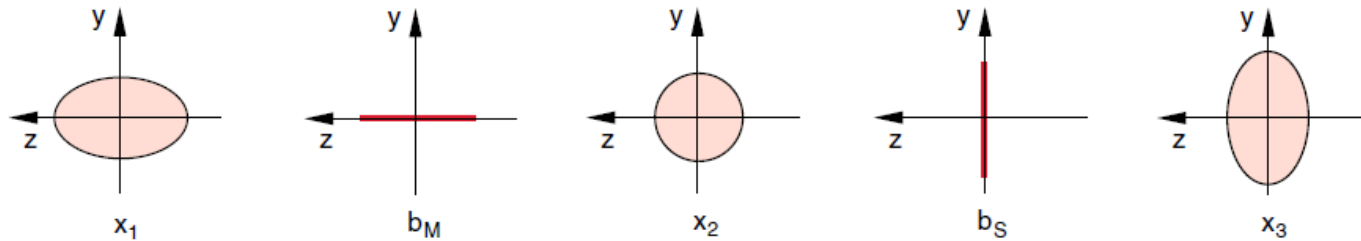


Barrel  
Distortion

# Astigmatismus



a)



b)

Abb. 9.45a,b. Astigmatismus bei der Abbildung eines schrägen Lichtbündels. (a) Perspektivische Ansicht; (b) Lichtbündelquerschnitt in den Ebenen im Abstand  $x_1$ ,  $b_M$ ,  $x_2$ ,  $b_S$ ,  $x_3$

# eye image formation

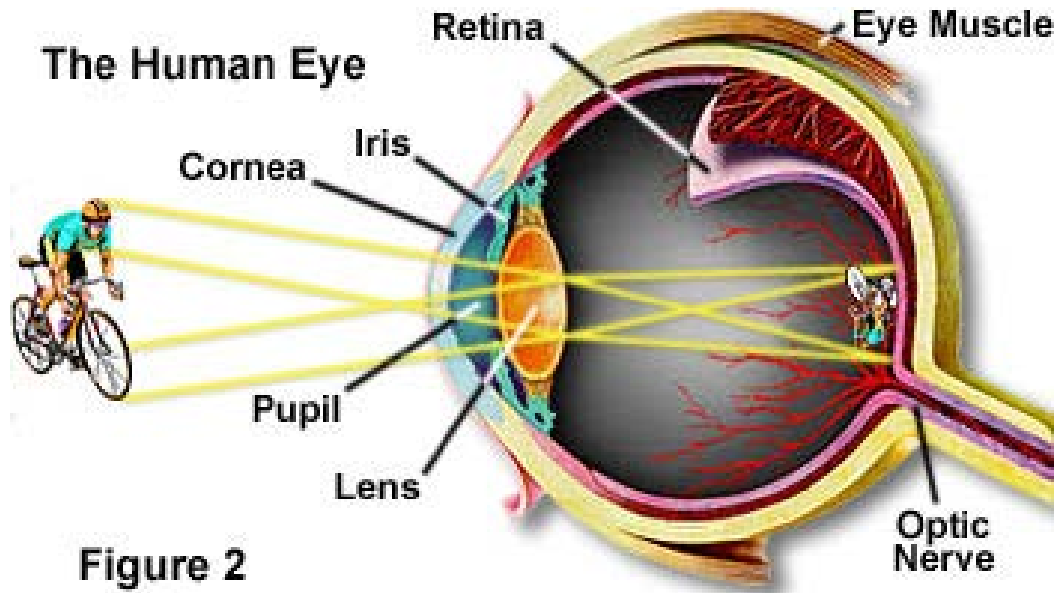
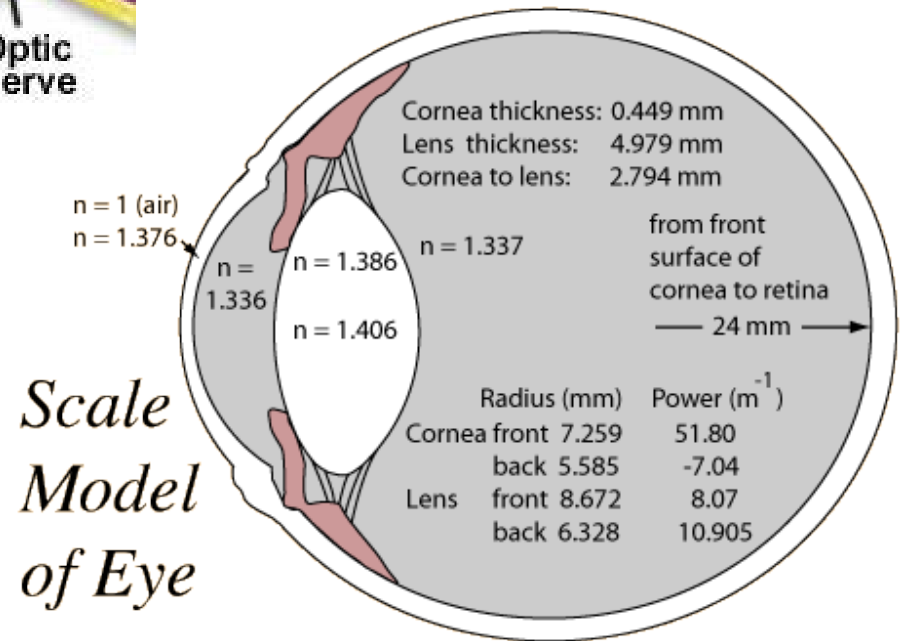


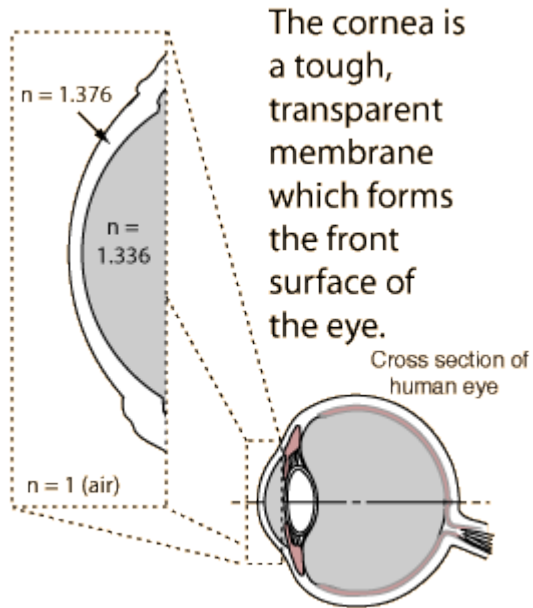
Figure 2





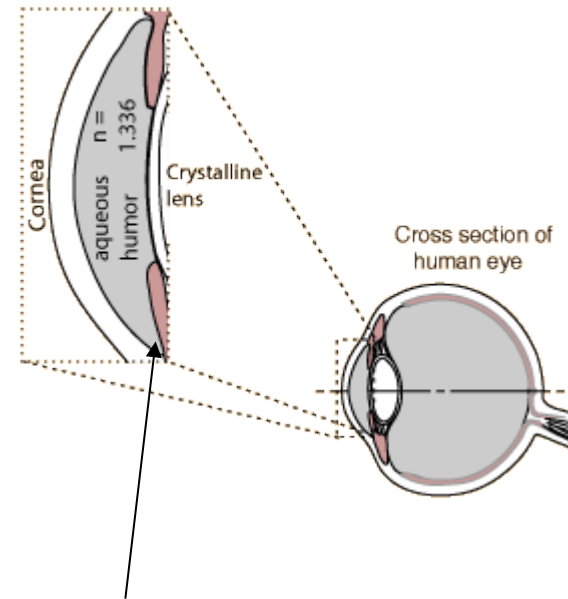
# eye image formation

## cornea



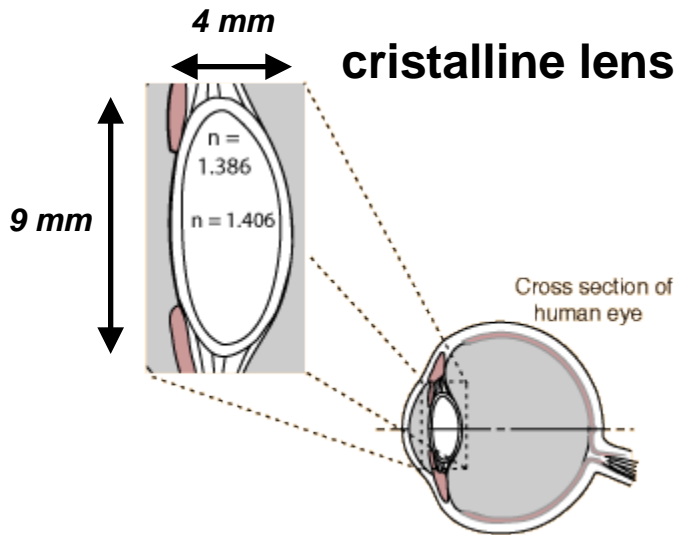
**strong refraction**  
**( $n \sim 1.376$ )**

## aqueous humor

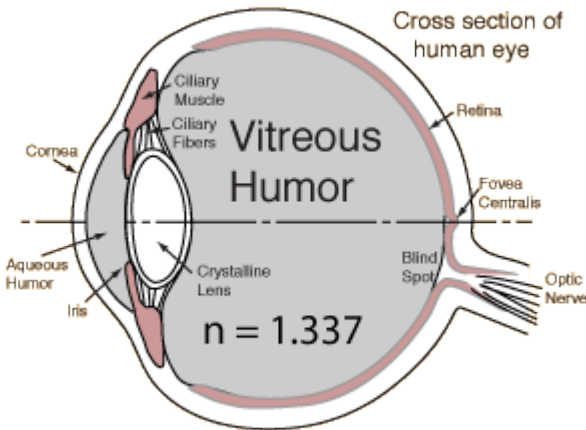
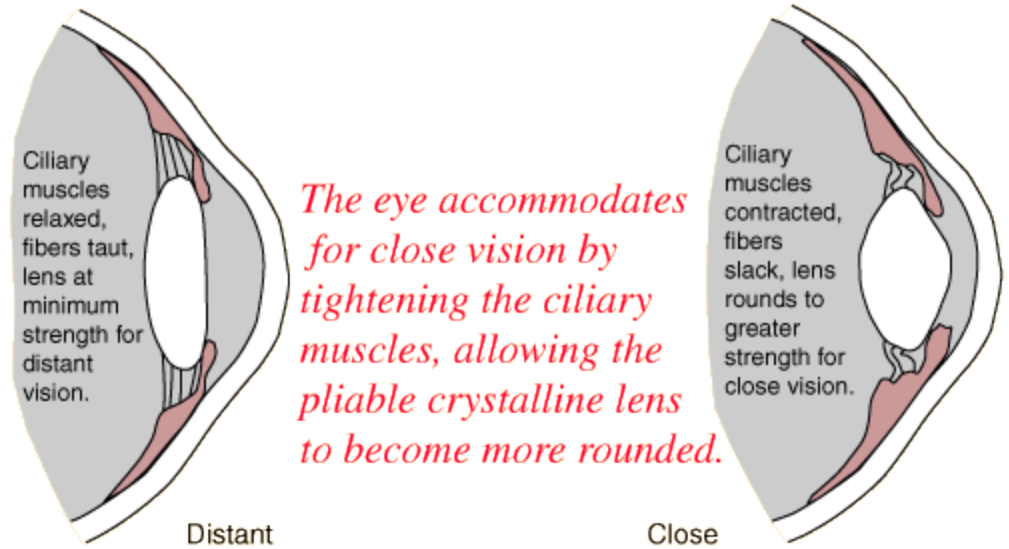


**iris (diaphragm)**

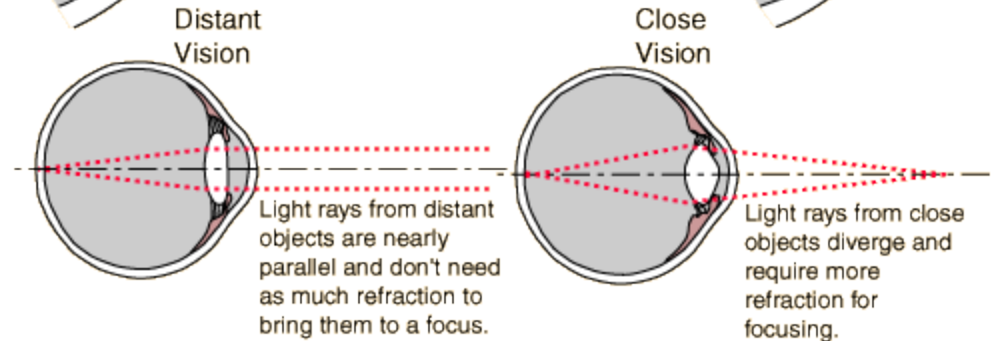
# eye image formation



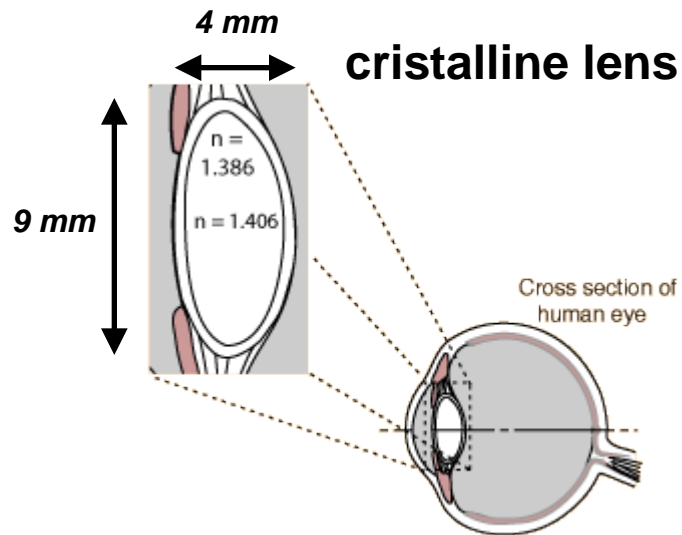
wie fokussiert die Auge?



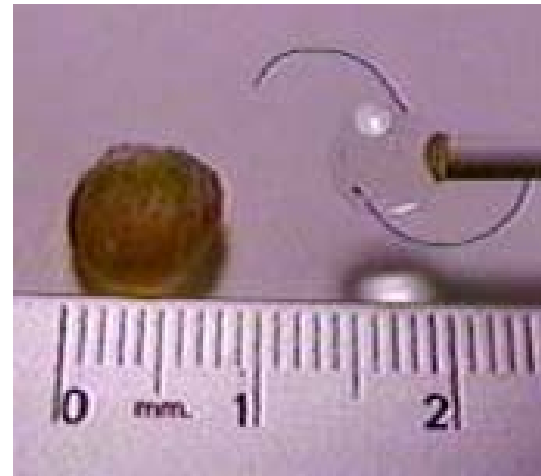
water:  $n \sim 1.33$



# eye image formation

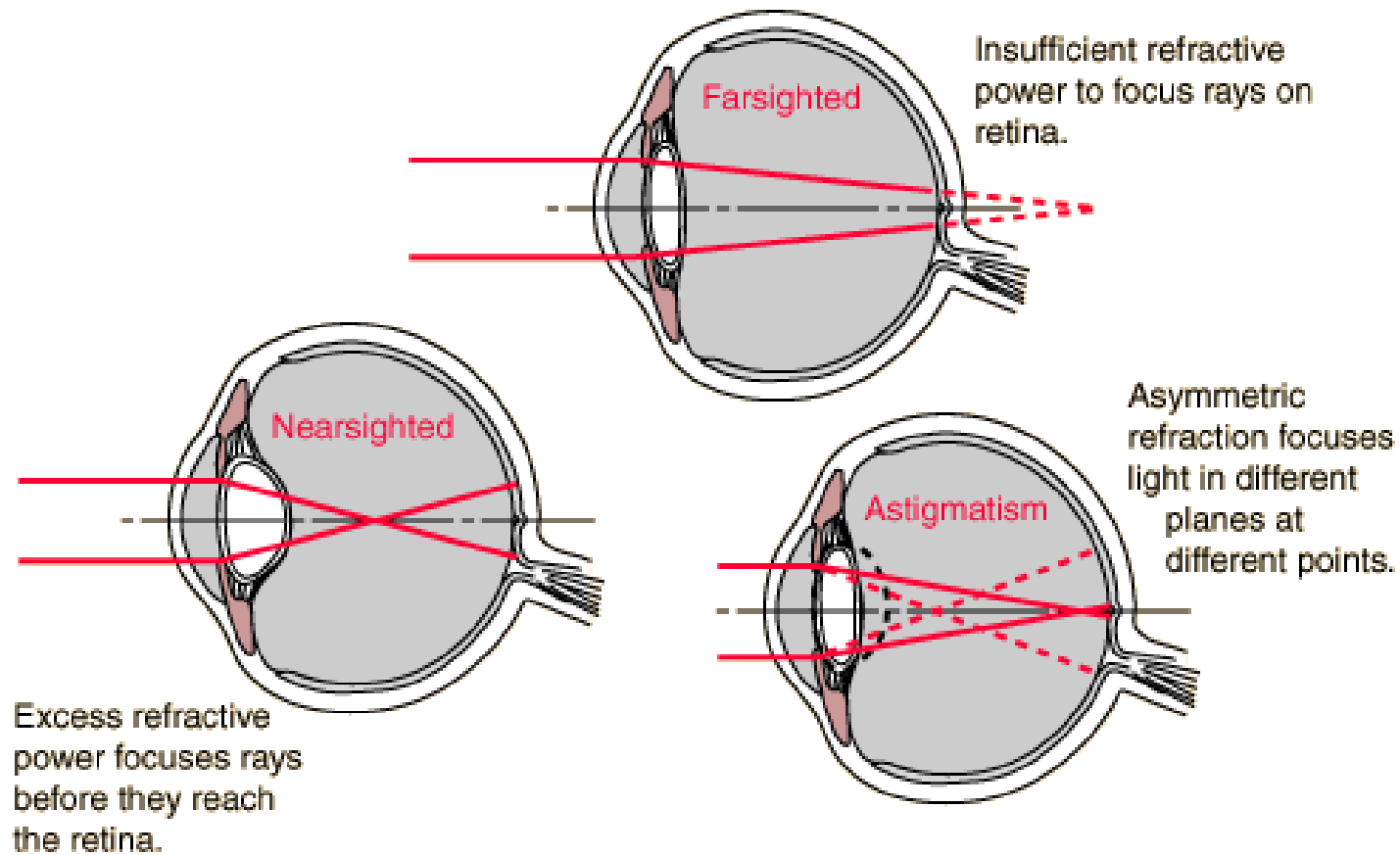


**cataracts:** *opacification of lens*



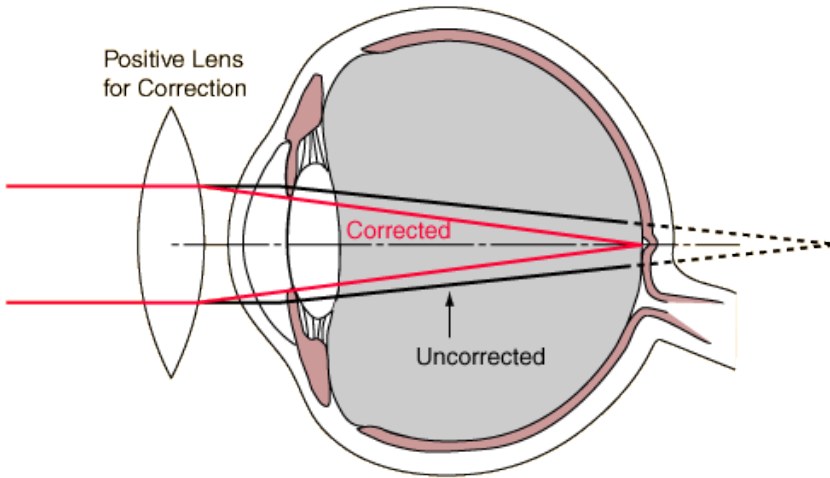
**glaucome:** *aqueous humor degradation  
pressure increase, perturbation of "optical" system*

# vision defects

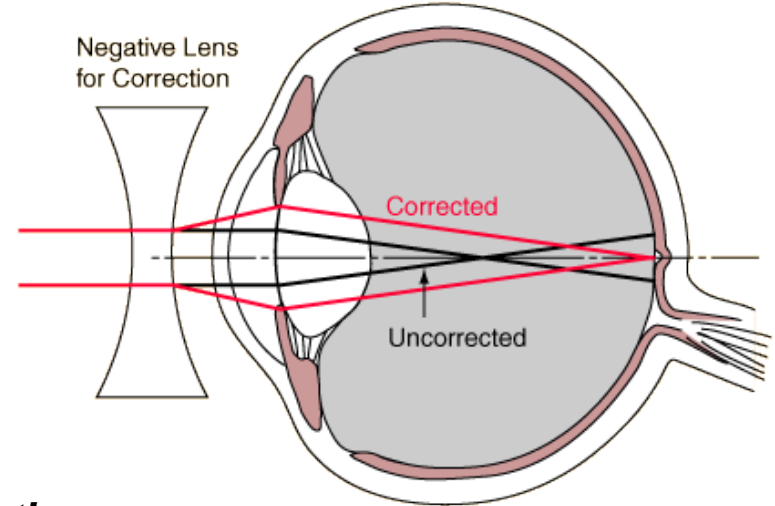


# vision defects

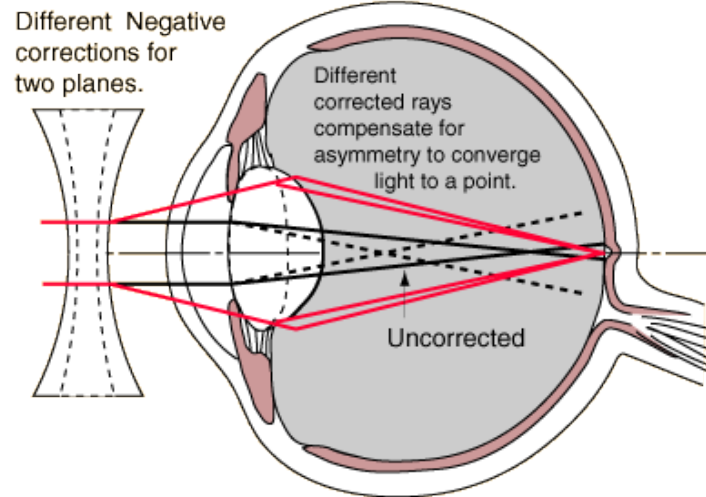
**hyperopia (farsighted)**



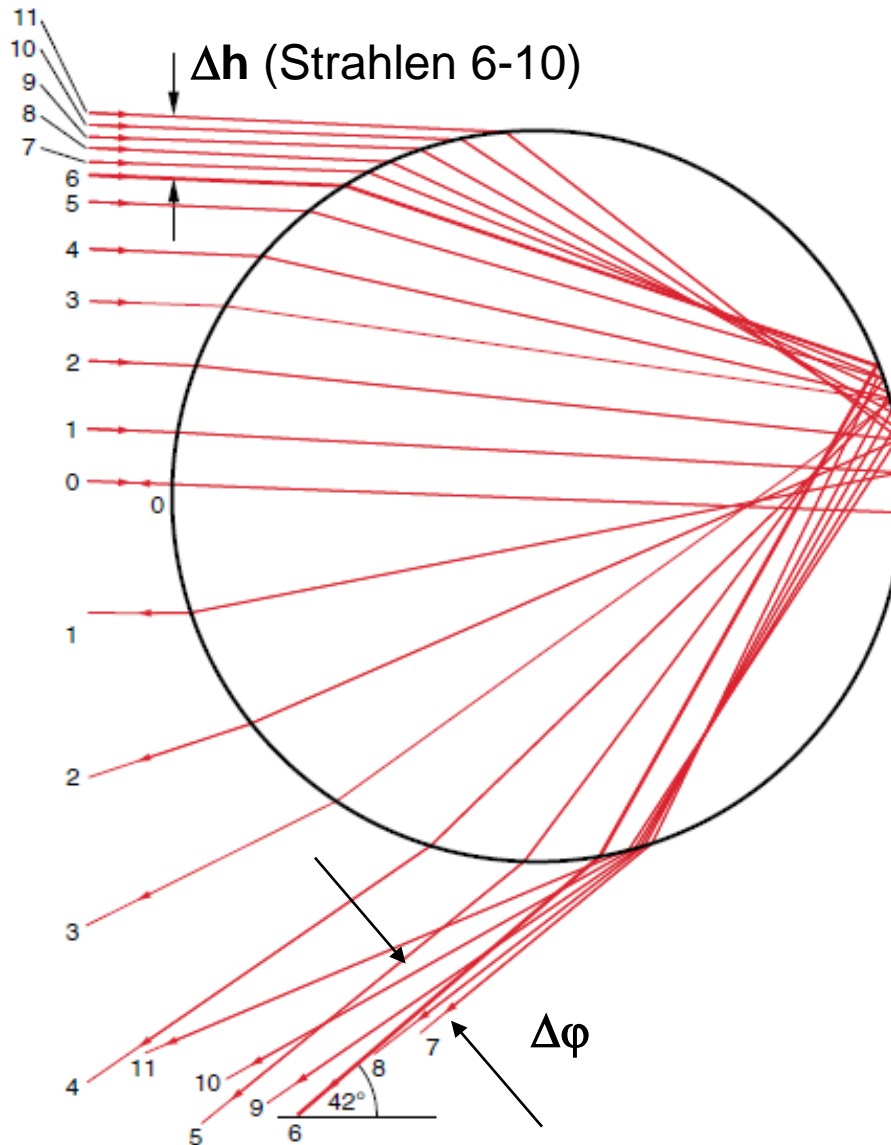
**myopia (nearsighted)**



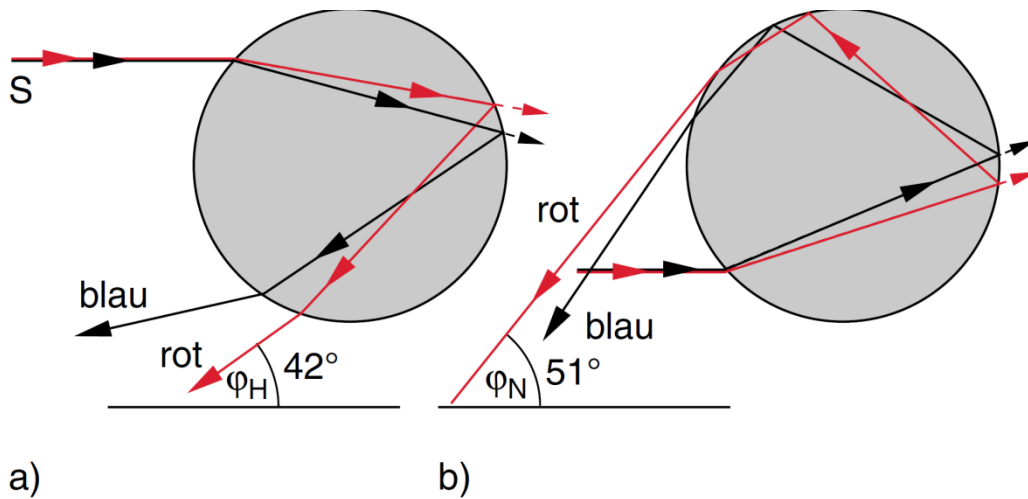
**astigmatism**



# Regenbogen



# Haupt- & Nebenregenbogen



a) b)  
**Abb. 9.68a,b.** Erklärung der Entstehung von (a) Haupt- und (b) Nebenregenbogen



# 22° Halo und Sundogs

